

Akademia Górniczo-Hutnicza im. Stanisława Staszica w Krakowie

Wydział Inżynierii Metali i Informatyki Przemysłowej

Sprawozdanie z Projektu:

Warunki Brzegowe LBM

Przedmiot: Modelowanie Dyskretne

Kierunek: Inżynieria Obliczeniowa

Autor: Filip Rak

Prowadzący ćwiczenia: prof. dr hab. Inż. Dmytro Svyetlichnyy

Data: 1 stycznia 2025

Numer zadania: 4

Grupa laboratoryjna: 4

Wstęp Teoretyczny

Warunki brzegowe w metodzie Lattice Boltzmann (LBM) pełnią ważną rolę w modelowaniu przepływu płynów, umożliwiając symulację interakcji z powierzchniami i granicami obszaru symulacji. Poprawna implementacja tych warunków zapewnia stabilność i realizm przepływu, uwzględniając takie aspekty, jak odbicie, przepływ wymuszony czy swobodne warunki wyjścia.

Cel Ćwiczenia

Zapoznanie się z najczęściej stosowanymi warunkami brzegowymi dotyczącymi modelowania przepływu.

Warunki Brzegowe

Wariant pierwszy:

- Pionowa składowa prędkości: 0.0.
- Pozioma składowa prędkości:
 - Górna granica: 0.02.
 - Dolna granica: 0.0.
 - Prawa i lewa granica: liniowa zmiana z dołu do góry od 0.0 do 0.02.

Wariant drugi:

- Prawa granica: warunek otwarty z gęstością: 1.0.
- Lewa granica: warunek otwarty z prędkością z dołu do góry od 0.0 do 0.02 na osi Y i prędkością 0.0 na osi X.
- Górna granica: symetryczny warunek brzegowy
- Dolna granica: warunek odbijający.

Implementacja Warunków

Wybrana funkcja jest wywoływana pojedynczo w ramach inicjalizacji siatki oraz każdorazowo po streamingu.

Wariant Pierwszy

```
void Automaton::apply_bc1(int x, int y)
{
    bool top = (y == 0);
    bool bottom = (y == height - 1);
    bool left = (x == 0);
    bool right = (x == width - 1);

    // Avoid inner cells
    if (!top && !bottom && !left && !right)
    {
        return;
    }

    int cell_id = grid.get_id(x, y);

    /* Apply to every boundary */

    // 1. Zero Y-axis velocity
    grid.velocity_y[cell_id] = 0.f;

    /* Apply to specific boundary */
    double max = 0.02f;
    double min = 0.f;

    if (top)
    {
        grid.velocity_x[cell_id] = max;
    }

    else if (bottom)
    {
        grid.velocity_x[cell_id] = min;
    }

    else if (left || right)
    {
        double multi = (double)y / (double)(grid.height - 1);
        multi = 1 - multi;

        grid.velocity_x[cell_id] = min + (max - min) * multi;
    }

    // Update input functions
    double u_square = grid.velocity_x[cell_id] * grid.velocity_x[cell_id] +
        grid.velocity_y[cell_id] * grid.velocity_y[cell_id];

    for (int direction = 0; direction < Grid::direction_num; direction++)
    {
        double ci_dot_u = grid.directions_x[direction] * grid.velocity_x[cell_id] +
            grid.directions_y[direction] * grid.velocity_y[cell_id];

        grid.f_in[direction][cell_id] = grid.weights[direction] * grid.density[cell_id] *
            (1.0 + 3.0 * ci_dot_u + 4.5 * ci_dot_u * ci_dot_u - 1.5 * u_square);
    }
}
```

Warrior Drugi

```
void Automaton::apply_bc2(int x, int y)
{
    bool top = (y == 0);
    bool bottom = (y == height - 1);
    bool left = (x == 0);
    bool right = (x == width - 1);

    // Return for inner cells
    if (!top && !bottom && !left && !right)
    {
        return;
    }

    int cell_id = grid.get_id(x, y);

    /* Bottom Boundary - Bounce Back */
    if (bottom)
    {
        for (int dir = 0; dir < Grid::direction_num; dir++)
        {
            int opp = grid.opposite_directions[dir];
            grid.f_in[opp][cell_id] = grid.f_in[dir][cell_id];
        }

        return;
    }

    /* Left Boundary - Open with Applied Speed */
    else if (left)
    {
        // Linear speed change on Vertical Axis from top (y = 0) to bottom (y = height - 1)

        // Normalize
        double normalized = (double)y / (double)(height - 1);
        normalized = 1.0 - normalized;

        // Values to apply
        double Ux = 0.02f * normalized;
        double Uy = 0.f;
        double rho = 1.f; // Assume density of 1 at the inflow

        // Apply
        grid.density[cell_id] = rho;
        grid.velocity_x[cell_id] = Ux;
        grid.velocity_y[cell_id] = Uy;
    }

    /* Top Boundary - Symmetric */
    else if (top)
    {
        grid.f_in[4][cell_id] = grid.f_in[3][cell_id]; // 4a
        grid.f_in[8][cell_id] = grid.f_in[5][cell_id]; // 5a
        grid.f_in[7][cell_id] = grid.f_in[6][cell_id]; // 6a

        grid.velocity_y[cell_id] = 0.0;

        return;
    }

    /* Right Boundary - Open with Applied Density = 1.0 */
    else if (right)
    {
        // Apply density
        grid.density[cell_id] = 1.0;

        // 12a
        double u_x = (grid.f_in[0][cell_id] + grid.f_in[3][cell_id] + grid.f_in[4][cell_id]
                     + 2 * (grid.f_in[1][cell_id] + grid.f_in[5][cell_id] + grid.f_in[8][cell_id]));
        u_x /= grid.density[cell_id];
        u_x -= 1;

        grid.velocity_x[cell_id] = u_x;
        grid.velocity_y[cell_id] = 0.f;
    }

    /* Update Input Functions */
    for (int j = 0; j < grid.direction_num; j++)
    {
        double ci_dot_u = grid.directions_x[j] * grid.velocity_x[cell_id] +
                         grid.directions_y[j] * grid.velocity_y[cell_id];

        double u_square = grid.velocity_x[cell_id] * grid.velocity_x[cell_id] +
                         grid.velocity_y[cell_id] * grid.velocity_y[cell_id];

        // Equilibrium function
        double f_eq = grid.weights[j] * grid.density[cell_id] *
                     (1.0 + 3.0 * ci_dot_u + 4.5 * ci_dot_u * ci_dot_u - 1.5 * u_square);

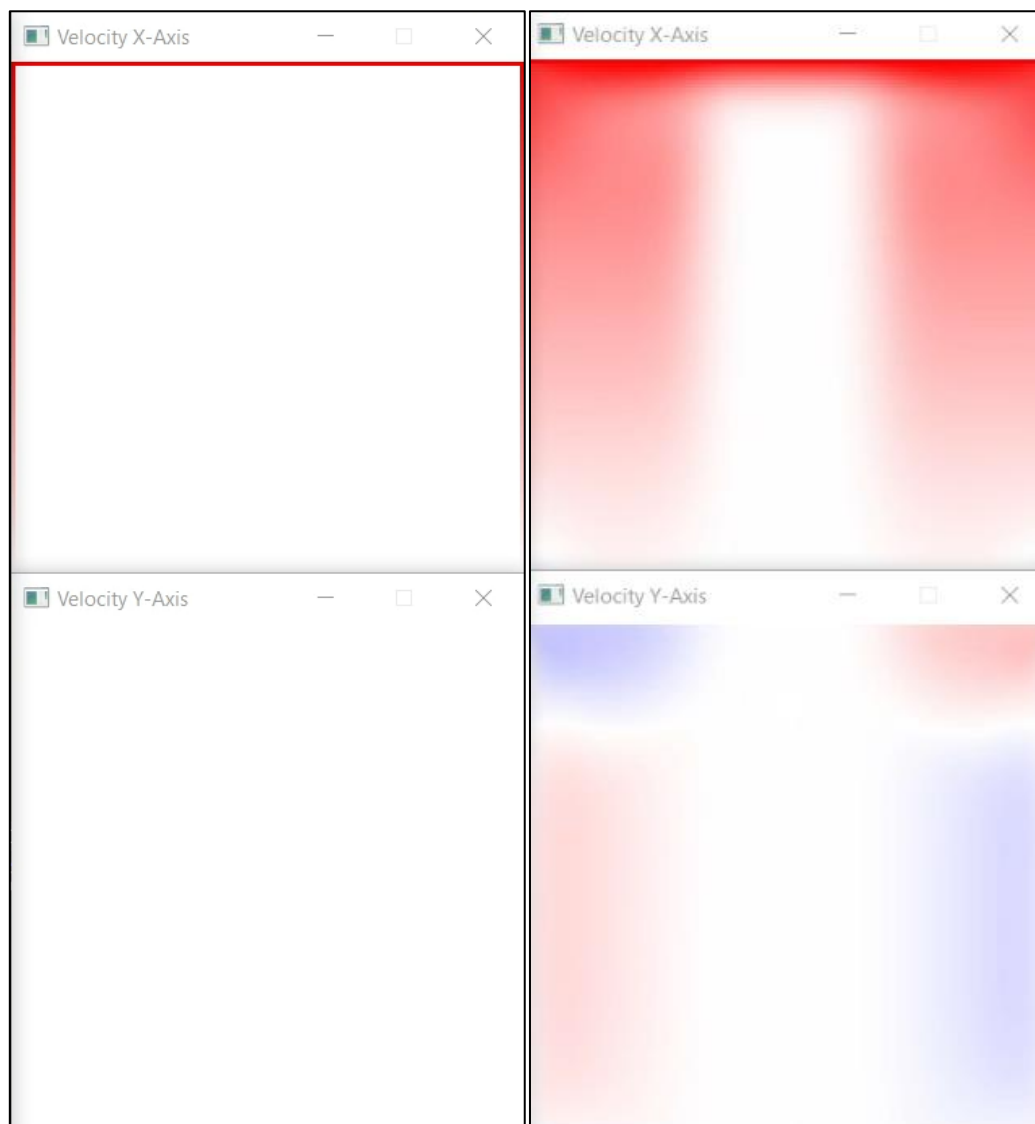
        // Initialize f_in as equilibrium function
        grid.f_in[j][cell_id] = f_eq;
    }
}
```

Przeprowadzone Symulacje

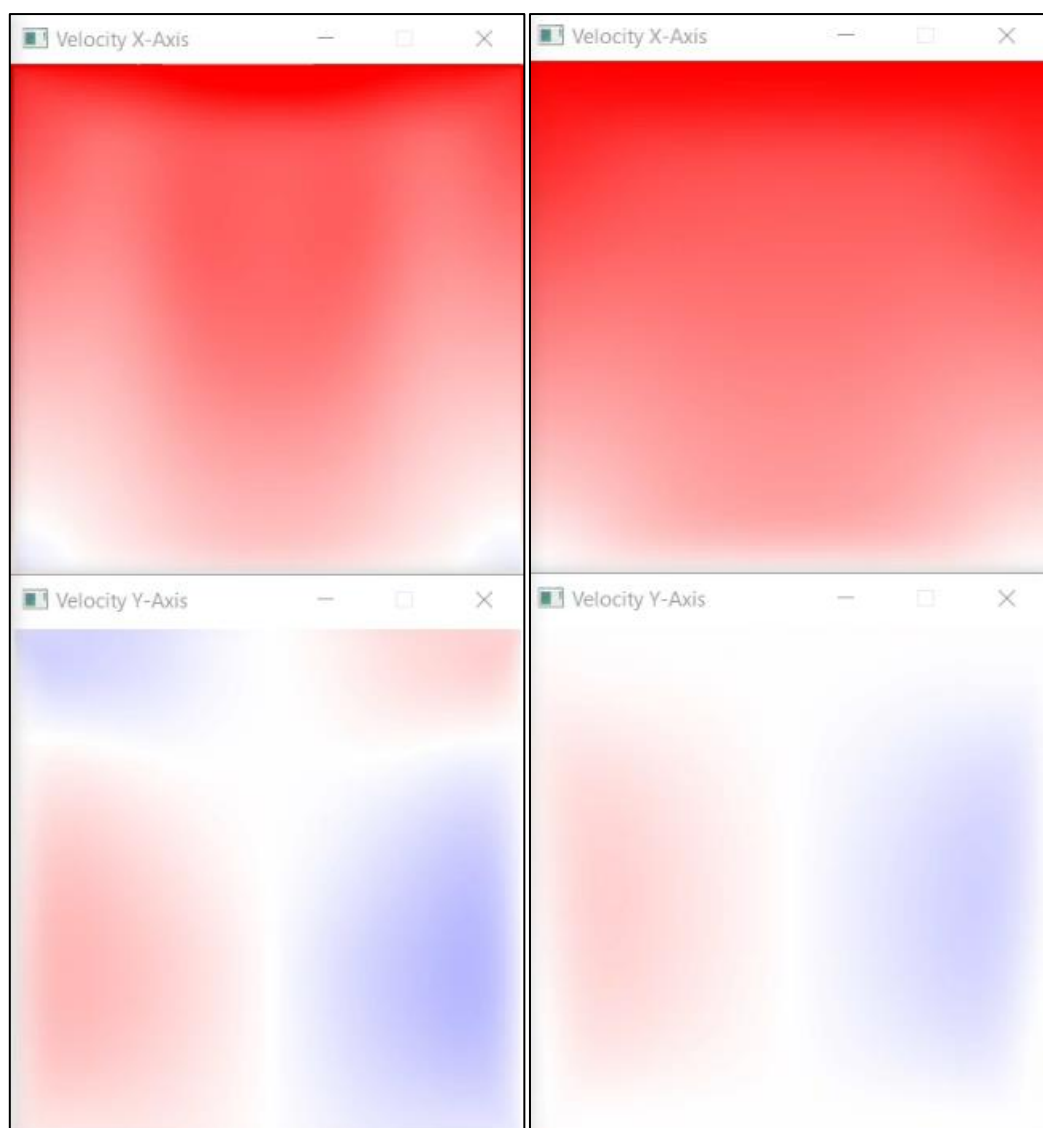
Warunki Początkowe

- Obszar siatki: 128x128
- Gęstość: 1.0
- Prędkość: 0.0 (nie odnosi się do brzegów)

Wariant Pierwszy

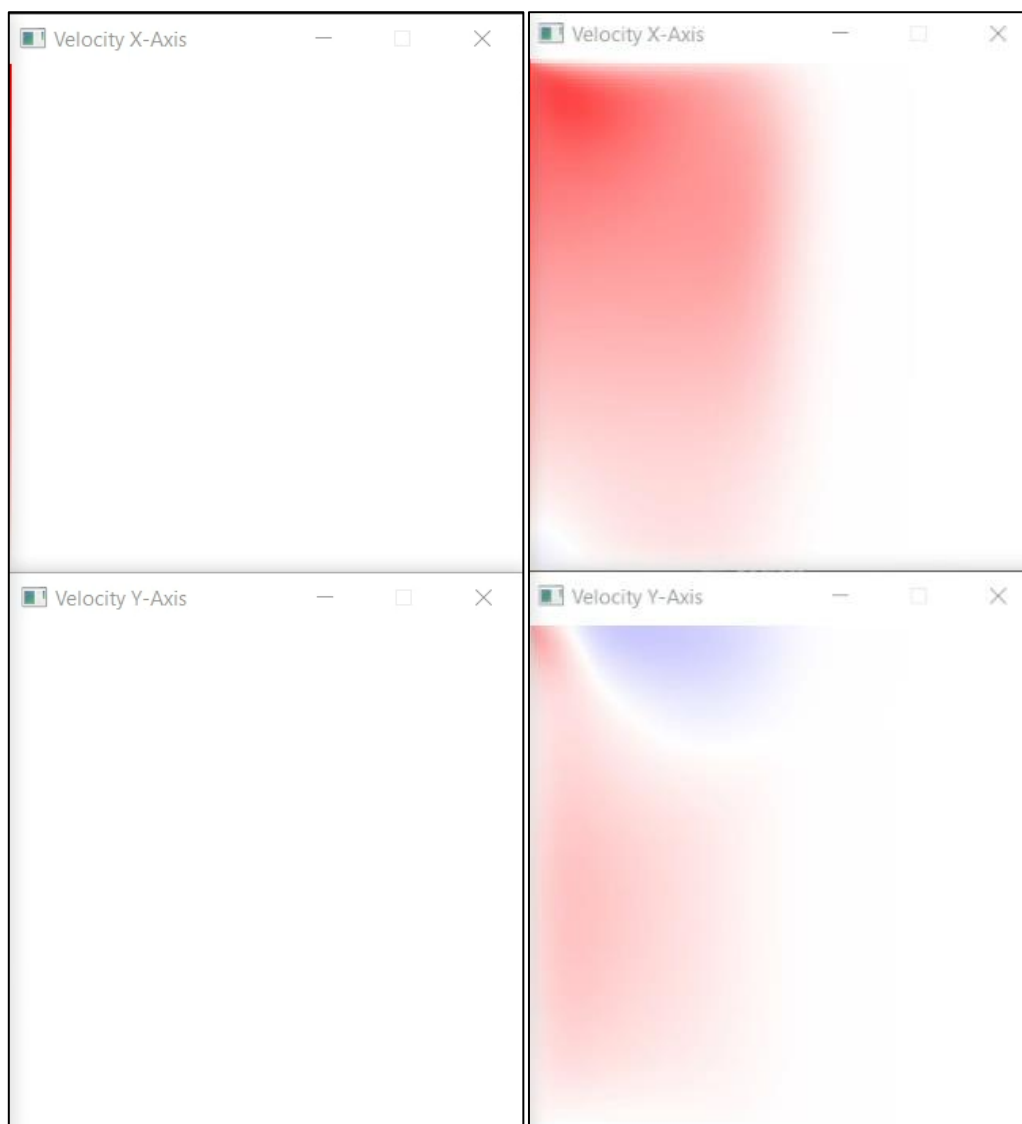


Stan początkowy, iteracja 0 po lewej. Iteracja 68 po prawej.

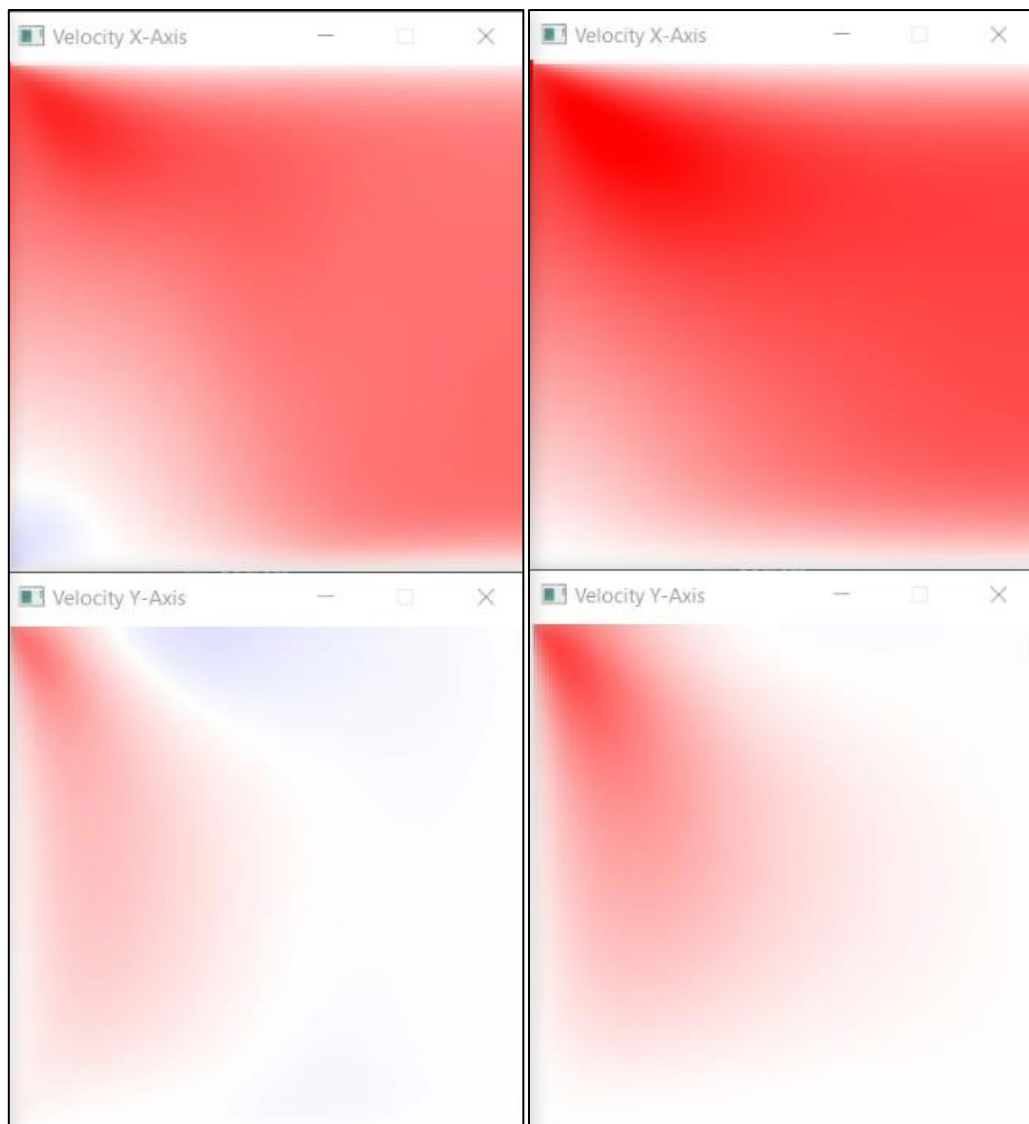


Iteracja 157 po lewej. Stan ustalony (iteracja 278) po prawej.

Wariant Drugi



Stan początkowy, iteracja 0 po lewej. Iteracja 106 po prawej.



Iteracja 256 po lewej. Stan ustalony (iteracja 574) po prawej.

[Nagranie](#)

Podsumowanie

Pierwszy wariant wydaje się być zgodny z materiałem referencyjnym przekazany przez prowadzącego. Wyniki symulacji odzwierciedlają oczekiwane zachowanie modelu.

W przypadku drugiego wariantu trudno jednoznacznie stwierdzić, czy uzyskany rezultat jest w pełni poprawny. Pomimo dużej ilości poświęconego czasu i wielokrotnych zmianach w kodzie źródłowym oraz wielu testach nie udało się dokładnie odtworzyć rezultatu z materiału referencyjnego w okolicach górnego brzegu.